

# CBPF - CENTRO BRASILEIRO DE PESQUISAS FÍSICAS Rio de Janeiro

Notas de Física

CBPF-NF-009/20 December 2020

Um colorido tour pelo  $R^4$ 

A.F.F. Teixeira





# Um colorido tour pelo $R^4$

#### A.F.F. Teixeira

Centro Brasileiro de Pesquisas Físicas 22290–180 Rio de Janeiro–RJ, Brasil; teixeira@cbpf.br

8 de Dezembro de 2020

#### Resumo

Percorre-se o 4–espaço vetorial real usando algumas ferramentas novas ou pouco conhecidas pelos físicos, tais como o símbolo  $\infty^n$  e um modelo 3–dimensional para os subespaços. Privilegia-se uma direção e se cria um código de cores para os vetores, facilitando a percepção dos subespaços bi– e tri–dimensionais. Constroi-se tabelas pormenorizadas de pertinências e normalidades entre todos os subespaços.

Palavras-chave: espaçotempo, subespaços, cones de luz.

- - - - -

The real vector 4–space is visited using some tools, new or little known by physicists, such as the symbol  $\infty^n$  and a 3–dimensional model for the subspaces. A direction is priviledged, allowing a color code for the vectors and easy perception of subspaces with 2 and 3 dimensions. Detailed tables of inclusions and normalities among all subspaces are displayed.

Key words: spacetime, subspaces, light cones.

### 1 Introdução

Navegaremos pelo quadriespaço vetorial real  $R^4$ . Ele, seus subespaços, e seus cones de luz são importantes para as relatividades especial e geral. Ao que saibamos, alguns tópicos desta exposição são novos na literatura: o símbolo  $\infty^n$  (Seção 4), um prático modelo tridimensional para os subespaços (Seção 7), e tabelas detalhadas de pertinências e normalidades entre subespaços (Seções 8 e 9).

# 2 Ângulo entre quadrivetores

Para o  $R^4$ , escolhemos uma base  $\{\tilde{t}; \, \tilde{x}, \, \tilde{y}, \, \tilde{z}\}$ , na qual um vetor  $\tilde{a}$  terá componentes  $\tilde{a} := [a_0; \, a_1, \, a_2, \, a_3]$ . Definimos o produto escalar entre dois vetores, e o módulo de um vetor, como

$$\tilde{a} \cdot \tilde{b} := a_0 b_0 + a_1 b_1 + a_2 b_2 + a_3 b_3, \quad |\tilde{a}| := \sqrt{\tilde{a} \cdot \tilde{a}}.$$
 (1)

O ângulo  $\varphi$  entre os vetores  $\tilde{a}\,$  e  $\tilde{b}\,$  é obtido de

$$\tilde{a} \cdot \tilde{b} = |\tilde{a}| |\tilde{b}| \cos \varphi, \quad 0^{\circ} \le \varphi \le 180^{\circ};$$
 (2)

diremos que  $\tilde{a}$  e  $\tilde{b}$  são (mutuamente) normais se  $\tilde{a} \cdot \tilde{b} = 0$ , e diremos que  $\tilde{a}$  é unitário se  $|\tilde{a}| = 1$ ; em particular, os quatro vetores base são normais e unitários.

Chamaremos direção a, a reta não-orientada que contenha o vetor  $\tilde{a}$ . A direção t será privilegiada, e denominada temporal. As direções que formem com t ângulo

 $\eta<45^{\rm o},$ ou = 45° ou > 45°, serão ditas tipo tempo  $\,\tau\,,$ ou tipo luz  $\,\lambda\,,$ ou tipo espaço  $\,\sigma\,,$  respectivamente.

Correspondentemente, teremos vetores tipo tempo  $\tilde{\tau}$ , ou luz  $\tilde{\lambda}$  ou espaço  $\tilde{\sigma}$ . Esta classificação é importante na cinemática relativista, onde velocidades de objetos são representadas por vetores  $\tilde{\tau}$ , enquanto velocidades iguais ou maiores que c são representadas por vetores  $\tilde{\lambda}$  e  $\tilde{\sigma}$ , respectivamente.

Com frequência usaremos a decomposição  $\tilde{a} := [a_0; \vec{a}]$ , e definimos

$$\vec{a} \cdot \vec{b} := a_1 b_1 + a_2 b_2 + a_3 b_3, \quad |\vec{a}| := \sqrt{\vec{a} \cdot \vec{a}}.$$
 (3)

Definimos também um índice, temporalidade  $-1 \le T \le 1$ , de um dado vetor  $\tilde{a}$ :

$$T := \frac{|a_0| - |\vec{a}|}{|a_0| + |\vec{a}|}.$$
(4)

Vetores e direções  $\{\tau, \lambda, \sigma\}$  têm T {positivo, zero, negativo}, respectivamente; em particular, a direção t tem a máxima temporalidade, 1. Note que (4) é invariante sob rotações dos eixos  $\{x, y, z\}$ .

A normalidade entre vetores tipo luz pode nos surpreender. Com efeito, sejam  $\tilde{\lambda_1} := k_1[1; \vec{\lambda_1}]$  e  $\tilde{\lambda_2} := k_2[1; \vec{\lambda_2}]$  os dois vetores, com  $|\vec{\lambda_1}| = |\vec{\lambda_2}| = 1$ . Ora,  $\tilde{\lambda_1} \cdot \tilde{\lambda_2} = 0$  implica  $1 + \vec{\lambda_1} \cdot \vec{\lambda_2} = 0$ , portanto  $\angle(\vec{\lambda_1}, \vec{\lambda_2}) = 180^\circ$ . Concluímos que, se  $\tilde{\lambda_1}$  for normal a  $\tilde{\lambda_2}$ , suas partes espaciais  $k_1\vec{\lambda_1}$  e  $k_2\vec{\lambda_2}$  serão paralelas ou antiparalelas.

Somente direções  $\sigma$  podem ser normais a uma  $\tau$ . [Com efeito, mediante apropriada rotação dos eixos  $\{x,y,z\}$  toda direção  $\tau$  pode ter forma  $\tau:=[\cos\eta;\sin\eta;0,0]$  com  $0^{\circ} \leq \eta < 45^{\circ}$ ; uma direção  $\delta:=[a;b,c,d]$  será normal a  $\tau$  se  $a\cos\eta+b\sin\eta=0$ , portanto  $\delta=[-b\tan\eta;b,c,d]$ , que é tipo espaço.] De modo semelhante se mostra que somente direções  $\lambda$  e  $\sigma$  podem ser normais a uma  $\lambda$ , e que direções de quaisquer tipos podem ser normais a uma  $\sigma$ .

E fácil perceber que todo vetor pode ser decomposto em diferentes somas de dois outros vetores, de quaisquer tipos, iguais ou diferentes. Mas temos uma provável surpresa para você: em decomposições  $\tilde{\lambda_3} = \tilde{\lambda_1} + \tilde{\lambda_2}$ , os três vetores tipo luz são necessariamente colineares. [Com efeito, sejam  $\tilde{\lambda_1} := k_1[1; \vec{\lambda_1}]$  e  $\tilde{\lambda_2} := k_2[1; \vec{\lambda_2}]$ , com  $|\vec{\lambda_1}| = 1$  e  $|\vec{\lambda_2}| = 1$ . Então  $\tilde{\lambda_3} = [k_1 + k_2; k_1\vec{\lambda_1} + k_2\vec{\lambda_2}]$ , que por ser tipo luz implica  $(k_1 + k_2)^2 = |k_1\vec{\lambda_1} + k_2\vec{\lambda_2}|^2$ , ou seja,  $1 = \vec{\lambda_1} \cdot \vec{\lambda_2}$ ; portanto  $\vec{\lambda_1} = \vec{\lambda_2}$ , implicando  $\tilde{\lambda_1}$  e  $\tilde{\lambda_2}$  serem colineares, no que  $\tilde{\lambda_3}$  os acompanhará.]

### 3 Colorindo as direções

Para facilitar a visualização dos subespaços do  $R^4$ , vamos colorir suas direções como num arco-íris. A direção t (T=1) será azul, as  $\lambda$  (T=0) serão amarelas, e as intermediárias  $\tau$  serão verdes com tonalidades variando do azul ao amarelo. Completando, as direções  $\sigma$  terão cor laranja, com nuances entre amarelo e vermelho (T=-1). Veja a Figura 1.

### 4 O símbolo $\infty^n$

O espaço  $R^4$  contém uma infinidade de vetores, cada um sendo especificado por 4 parâmetros com variação contínua. Então, loosely speaking, diremos que  $R^4$  contém  $\infty^4$  vetores. Embora esta nomenclatura seja matematicamente nonsense, ela se revelará muito prática, e será fartamente usada neste texto. Para ajudar você a se acostumar com ela, assertamos que o  $R^4$  contém  $\infty^3$  direções  $\tau$ , e  $\infty^2$  direções  $\lambda$ , e  $\infty^3$  direções  $\sigma$ .

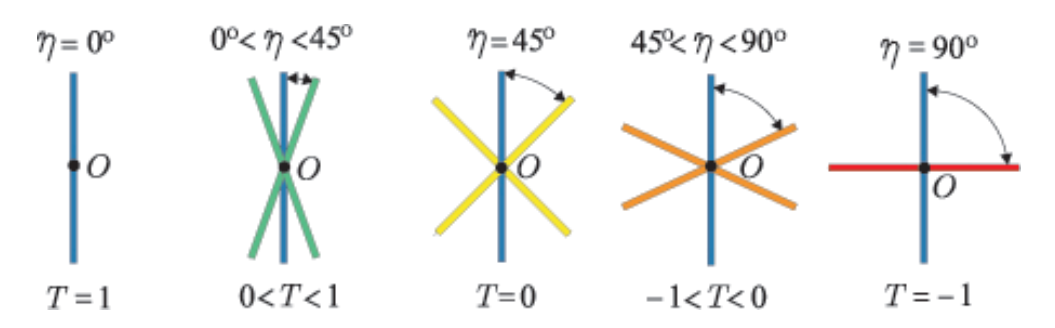


Figura 1: Direções no  $R^4$ , estendendo-se até o infinito radial. Note que  $T = \tan(45^{\circ} - \eta)$ .

A propósito, talvez você já se tenha perguntado se no  $R^4$  existem mais vetores  $\tilde{\tau}$  que  $\tilde{\sigma}$ , ou o contrário; bem, uns cálculos de volumes quadridimensonais indicam que há mais direções  $\sigma$  que  $\tau$ , na razão  $(\pi + 2)/(\pi - 2) \approx 9/2$ .

# 5 Os subespaços $R^2$

Constroi-se um subespaço bidimensional  $R^2$  selecionando 2 vetores não-colineares do  $R^4$ ,  $\tilde{a}$  e  $\tilde{b}$ , e coletando os vetores  $\alpha \tilde{a} + \beta \tilde{b}$ , com  $-\infty < \{\alpha, \beta\} < \infty$ . Subespaços bidimensionais se apresentam como planos passando pela origem O do  $R^4$ ; então aqui abreviamos a longa expressão 'subespaço vetorial bidimensional real' para *plano*, simplesmente.

Em todo plano (exceto naqueles com T=-1), a direção angularmente mais próxima da direção t é única, e será chamada eixo do plano. Conforme o ângulo  $\eta$  entre o eixo e t seja <, = ou > 45°, teremos plano tipo tempo  $\tau^2$ , tipo luz  $\lambda^2$  ou tipo espaço  $\sigma^2$ , respectivamente. Chamaremos  $\eta$  de ângulo do plano, e denotaremos  $R_T^2$  um plano cujo eixo tenha temporalidade T. Os planos  $R_{-1}^2$  não têm direção preferencial, todas as suas direções têm T=-1.

A Figura 2 expõe 5 planos paradigmáticos. Ali você vê que os  $\tau^2$  contêm uma infinidade  $\infty^1$  de direções  $\tau$  e  $\sigma$ , e somente 2 direções  $\lambda$ . Um  $\lambda^2$  obviamente não contém direções  $\tau$ ; ele contém 1 única direção  $\lambda$  (seu eixo) e uma infinidade  $\infty^1$  de direções  $\sigma$ . Completando, um  $\sigma^2$  contém  $\infty^1$  direções somente  $\sigma$ .

#### 5.1 Determinação do tipo de um plano

Esta dedução é bem conhecida na literatura; reproduzimo-la aqui por completeza, e por ser simples. O tipo de um plano pode ser descoberto a partir de qualquer par  $\{\tilde{a}, \tilde{b}\}$  de seus vetores, não-colineares, bastando calcular-se a quantidade de direções tipo luz do plano. Com efeito, suponha que a direção  $[a_0 + mb_0; \vec{a} + m\vec{b}]$  seja tipo luz, portanto obedeça

$$(a_0 + mb_0)^2 = |\vec{a} + m\vec{b}|^2.$$
 (5)

Escrevamos (5) do modo  $Am^2 + Bm + C = 0$ , onde

$$A := (b_0)^2 - |\vec{b}|^2, \quad B := 2(a_0b_0 - \vec{a} \cdot \vec{b}), \quad C := (a_0)^2 - |\vec{a}|^2,$$
 (6)

e busquemos a quantidade de diferentes soluções reais para m naquela equação. Essa quantidade depende somente do sinal do discriminante  $\Delta := B^2 - 4AC$ ; se  $\Delta > 0$ , existirão 2 valores reais diferentes para m que satisfaçam (5), e teremos um  $\tau^2$ . Se porém  $\Delta = 0$ , haverá somente 1 solução distinta real para m, e teremos um  $\lambda^2$ . Finalmente, se  $\Delta < 0$ , não haverá solução real para m, e ocorrerá um  $\sigma^2$ .

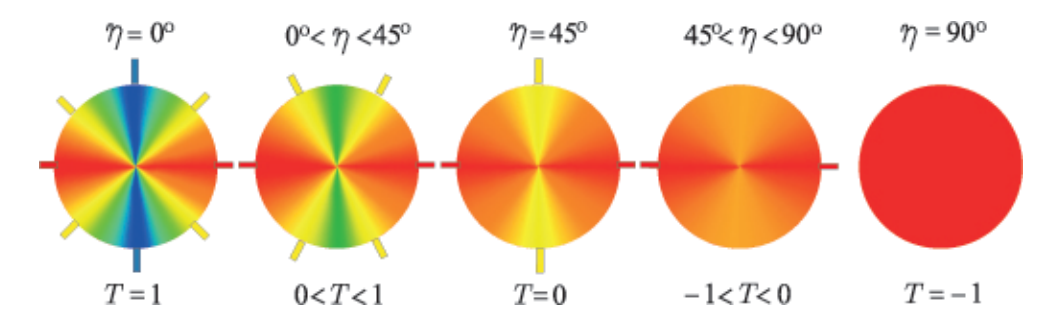


Figura 2: Os cinco planos paradigmáticos, estendendo-se até o infinito radial. No disco T=1 somente 1 direção é azul, e no disco T=0 somente 1 direção é amarela; todo disco  $T\neq -1$  contém somente 1 direção vermelha. O disco T=-1 é inteiramente vermelho.

#### 5.2 Determinação do eixo de um plano

Seja o plano contendo os vetores não-colineares  $[a_0; \vec{a}]$  e  $[b_0; \vec{b}]$ ; a direção m do plano é

$$[a_0 + mb_0; \vec{a} + m\vec{b}].$$
 (7)

O ângulo 0º  $\leq \omega \leq 90$ º entre a direção me a direção té dado por

$$\tan \omega = \frac{|\vec{a} + m\vec{b}|}{|a_0 + mb_0|},\tag{8}$$

e  $\omega$  será mínimo quando m satisfizer  $\partial(\tan \omega)/\partial m=0$ . Alguns cálculos dão

$$m = -\frac{\vec{a} \cdot \vec{C}}{\vec{b} \cdot \vec{C}}$$
, sendo  $\vec{C} := a_0 \vec{b} - b_0 \vec{a}$ ; (9)

este resultado, levado à (7), finalmente dá o eixo

$$[\vec{C} \cdot \vec{C} \,;\, \vec{C} \times (\vec{a} \times \vec{b})] \,. \tag{10}$$

En~passant,encontramos o valor $0^{\rm o} \leq \eta \leq 90^{\rm o}$ do ângulo do plano:

$$\tan \eta = \frac{|\vec{a} \times \vec{b}|}{|a_0 \vec{b} - b_0 \vec{a}|},\tag{11}$$

indicando que se tem  $\{\tau^2, \lambda^2, \sigma^2\}$  conforme  $|\vec{a} \times \vec{b}| \{<, =, >\} |a_0\vec{b} - b_0\vec{a}|$ .

### 5.3 Normalidade entre planos

Relembre-se que dois subespaços de um mesmo espaço são ditos (mutuamente) normais quando *todas* as direções de um forem normais a todas as do outro.

No  $R^4$ , há somente 1 plano normal a um plano dado. [Com efeito, é fácil perceber que, mediante apropriada rotação dos eixos  $\{x,y,z\}$ , todo plano pode ser expresso do modo  $R^2 := [\alpha \cos \eta; \ \alpha \sin \eta, \ \beta, \ 0]$ . E é também fácil perceber que há somente 1 plano,  $R^{2'} := [\gamma \sin \eta; \ -\gamma \cos \eta, \ 0, \ \delta]$ , que é normal àquele  $R^2$ .]

Note que  $T(R^{2'})=-T(R^{2})$ ; em consequência, no  $R^{4}$  a quantidade de  $\tau^{2}$  e  $\sigma^{2}$  é a mesma.

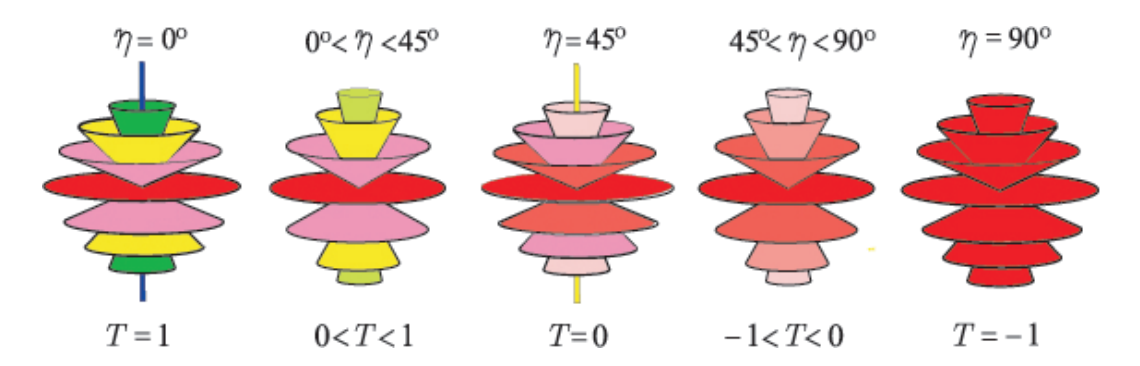


Figura 3: Os 5 triespaços paradigmáticos; os cones se estendem indefinidamente. O triespaço T=1 contém 1 única direção azul, o T=0 contém 1 única direção amarela, e o T=-1 é inteiramente vermelho. Todos contêm um plano vermelho.

#### 5.4 Interseção de planos

No  $R^4$ , dois planos escolhidos ao acaso geralmente têm em comum somente o vetor  $\tilde{0}$ ; este fato será facilmente percebido na Seção 7. Para determinar uma interseção de planos, resolvemos um sistema de 4 equações lineares homogêneas para 4 variáveis.

Por exemplo, buscando  $[\alpha; \beta, \alpha+\beta, \alpha-\beta] \cap [\gamma; \delta, \gamma-\delta, \delta-\gamma]$  escrevemos as equações  $\alpha=\gamma, \quad \beta=\delta, \quad \alpha+\beta=\gamma-\delta, \quad \alpha-\beta=\delta-\gamma$ , cuja solução é  $\alpha=\beta=\gamma=\delta=0$ , indicando o vetor  $\tilde{0}$ .

Em raros casos ocorre a interseção de planos ser uma direção. Por exemplo, buscando  $[\alpha; \beta, \alpha + \beta, \alpha - \beta] \cap [\gamma; \delta, \gamma - 2\delta, \gamma + 3\delta]$  escrevemos as equações  $\alpha = \gamma$ ,  $\beta = \delta$ ,  $\alpha + \beta = \gamma - 2\delta$ ,  $\alpha - \beta = \gamma + 3\delta$ , cuja solução é  $\alpha = \gamma$ ,  $\beta = \delta = 0$ , indicando a direção [1; 0, 1, 1].

# 6 Subespaços $R^3$

Construímos um subespaço vetorial 3–dimensional real  $R^3$  – doravante simplesmente triespaço – selecionando 3 vetores  $\{\tilde{a},\,\tilde{b},\,\tilde{c}\}$  do quadriespaço  $R^4$ , linearmente independentes, e coletando os vetores  $\alpha\tilde{a}+\beta\tilde{b}+\gamma\tilde{c}$ , com  $-\infty<\{\alpha,\beta,\gamma\}<\infty$ .

Em todo triespaço, exceto no familiar  $\{x,y,z\}$  cartesiano, a direção angularmente mais próxima à direção t é única, e será dita eixo do triespaço. [A exceção  $\{x,y,z\}$  não tem direção especial; todas suas  $\infty^2$  direções são normais a t.] O ângulo  $\eta$  entre o eixo e t será dito ângulo do triespaço. Definimos temporalidade T de um triespaço  $R_T^3$  como a do seu eixo.

A recíproca é verdadeira: toda direção de  $R^4$  (exceto t) é eixo de um único triespaço. [A exceção t é eixo de  $\infty^2$  triespaços, aqueles que contêm t e algum dos  $\infty^2$  planos com T=-1.] Estes assertos serão visualmente constatados na Seção 7.

Classificamos os triespaços do mesmo modo que os planos: tipo tempo  $\tau^3$ , que contêm direções dos 3 tipos; tipo luz  $\lambda^3$ , que contêm 1 única direção  $\lambda$  e  $\infty^2$  direções  $\sigma$ ; e tipo espaço  $\sigma^3$ , que contêm somente direções  $\sigma$ .

Em um triespaço, seja um cone circular cujo eixo é o do triespaço, e cujo vértice é a origem  $\tilde{0}$ . Cálculos mostram que todas as geratrizes do cone formam um mesmo ângulo  $\omega$  com a direção t. [Este contraintuitivo fato será visualmente constatado na Seção 7.] Em consequência, todo triespaço é folheado mediante cones circulares unicoloridos, coaxiais e com vértice na origem  $\tilde{0}$ . Veja a Figura 3. Sendo  $\eta$  o ângulo do triespaço, e sendo  $\psi$  a semiabertura do cone, o ângulo  $\omega$  é dado por  $\cos \omega = \cos \eta \cos \psi$ .

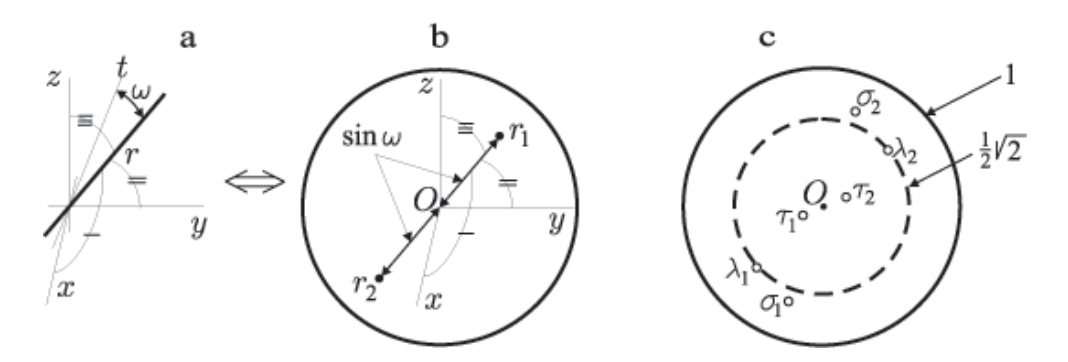


Figura 4: a: No espaço  $R^4$  com eixos  $\{t; x, y, z\}$ , veja a direção r formando ângulo  $0^{\circ} \le \omega \le 90^{\circ}$  com a direção temporal t.

**b**: Na bola  $B^3$ , com coordenadas  $\{x,y,z\}$  veja o par de pontos  $\{r_1,r_2\}$ , imagem da direção r.

c: Em uma seção máxima da bola  $B^3$  com raio 1, veja imagens  $\{\tau_1, \tau_2\}$ ,  $\{\lambda_1, \lambda_2\}$  e  $\{\sigma_1, \sigma_2\}$  de direções tipo tempo, luz e espaço, respectivamente.

#### 6.1 Normalidade entre triespaços e direções

É fácil perceber-se que, mediante apropriada orientação dos eixos  $\{x,y,z\}$ , todo triespaço pode ser expresso como  $R^3:=[\alpha\cos\eta;\,\alpha\sin\eta,\,\gamma,\,\delta\,]$ . É também fácil mostrar-se que há somente 1 direção,  $N:=\beta[\sin\eta;\,-\cos\eta,\,0,\,0\,]$ , normal àquele triespaço. Concluímos que todo triespaço tem 1 única direção que lhe seja normal. E notamos que  $T(N)=-T(R^3)$ , implicando o ângulo  $\eta$  do  $R^3$  e o ângulo da direção normal serem complementares.

Dada uma direção N, o conhecimento do triespaço  $R^3$  que lhe é normal é muito útil, porque toda direção normal ou plano normal àquela N está contida naquele  $R^3$ .

Note que a relação bijetiva  $R_{\tau,\sigma}^1 \Leftrightarrow R_{\sigma,\tau}^3$  implica haverem no  $R^4$  mais  $\tau^3$  que  $\sigma^3$ , na razão  $(\pi+2)/(\pi-2)\approx 9/2$ . Implica também haverem  $\infty^3$  triespaços  $\tau^3$ , e  $\infty^2$  triespaços  $\lambda^3$ , e outros  $\infty^3$  triespaços  $\sigma^3$ ; estas informações constam do final da última linha da Tabela 1.

### 7 Um modelo 3-dimensional

Nossa mente percebe sem dificuldade os espaços 1–, 2–, e 3–dimensionais. Mas ela reluta em aceitar certos fatos referentes a espaços com mais dimensões. Por exemplo, não é fácil perceber que uma dada direção no  $R^4$  é normal a uma infinita quantidade ( $\infty^2$ ) de planos; ou que as geratrizes de certos cones circulares sejam equidistantes de  $\infty^1$  diferentes direções. Dificuldades como essa serão esvaídas pelo modelo a seguir.

Vamos mapear elementos do  $\mathbb{R}^4$  em uma bola 3-dimensional  $\mathbb{B}^3$  com raio 1. Uma direção em  $\mathbb{R}^4$  será mapeada como um par de pontos na  $\mathbb{B}^3$ ; precisamente,

$$[\cos \omega; \vec{r} \sin \omega] \Rightarrow \pm \vec{r} \sin \omega, \quad 0^{\circ} \le \omega \le 90^{\circ}, \quad |\vec{r}| = 1.$$
 (12)

Diremos que o par de pontos é a imagem da direção. Veja as Figuras 4  ${\bf a}$  e 4  ${\bf b}$ .

A separação entre os pontos de uma imagem cresce com o ângulo  $\omega$  que a contraimagem forma com t. Assim, a imagem de uma direção  $\tau$  (ou  $\sigma$ ) é interior (ou exterior) a uma esfera 2-dimensional com raio  $\sqrt{2}/2$ , e a imagem de uma  $\lambda$  está naquela esfera. Veja a Figura 4  $\mathbf{c}$ .

Em particular, a imagem da direção t está (duplicadamente) no centro O da bola, e a imagem de uma direção  $[0; \vec{r}]$  é o par de pontos  $\pm \vec{r}/|\vec{r}|$ , na borda da bola.

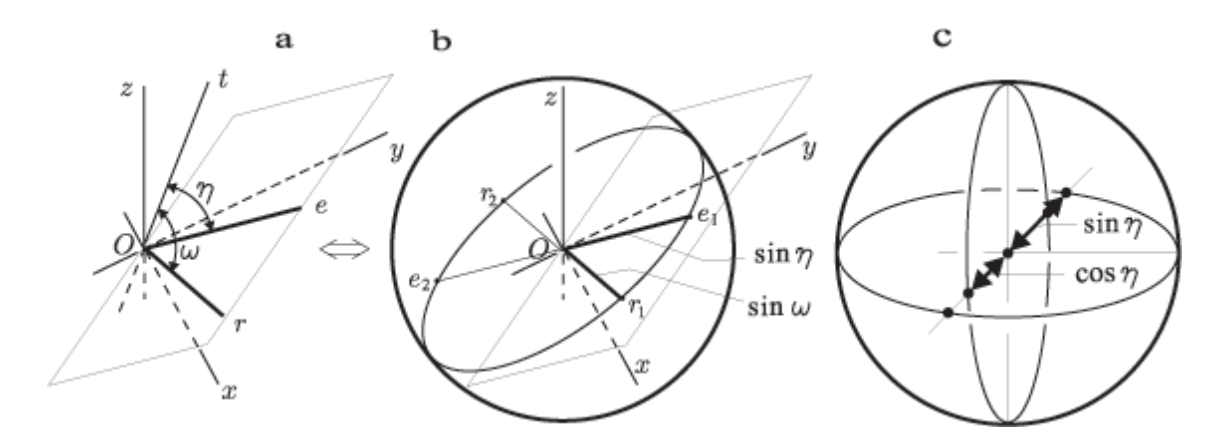


Figura 5: **a:** No  $\mathbb{R}^4$  com eixos  $\{t; x, y, z\}$ , um plano com eixo e, e uma direção genérica r no plano.

**b:** Na bola  $B^3$  com coordenadas  $\{x, y, z\}$ , os pares de pontos  $\{e_1, e_2\}$  e  $\{r_1, r_2\}$ , imagens de e e r, respectivamente, e a elipse com semieixos  $\{1, \sin \eta\}$ , imagem do plano de  $\mathbf{a}$ . c: Na bola  $B^3$ , imagens de 2 planos normais no  $R^4$ .

A imagem de um plano do  $R^4$  é o conjunto das imagens das direções do plano; esse conjunto forma uma elipse com semieixos  $\{1, \sin \eta\}$ , onde  $\eta$  é o ângulo do plano. Veja as Figuras 5 **a** e **b**.

Em particular, a imagem de um plano que contenha a direção t se contrai a um diâmetro da bola; precisamente,  $[\alpha; \beta \vec{r}] \Rightarrow$  diâmetro (da bola, e duplicado) contendo  $\vec{r}$ .

Sabemos que, no  $R^4$ , um plano é normal a 1 único outro plano; as imagens deles na  $B^3$  são elipses com semieixos  $\{1, \sin \eta\}$  e  $\{1, \cos \eta\}$ , situadas em planos geométricos perpendiculares, com os semieixos menores compartilhando uma mesma reta. Veja a Figura 5 c.

A imagem de um triespaço de  $R^4$  é um esferoide oblato centrado na origem O, com semieixos  $\{1, 1, \sin \eta\}$ , onde  $\eta$  é o ângulo do triespaço. O par de pontos imagem do eixo e o par imagem da direção normal ao triespaço são colineares; veja a Figura 6 **a**.

Em particular, a imagem do triespaço  $\{x,y,z\}$  é a esfera  $|\vec{r}|=1$ , a borda da bola  $B^3$ . E a imagem do triespaço normal a  $[0;\vec{r}]$  é o disco (duplicado) com raio 1 e perpendicular a  $\vec{r}$ .

Falta descrevermos as imagens dos  $\infty^4$  cones circulares com temporalidade constante existentes no  $R^4$ . Cada imagem é um par de círculos paralelos, cujo mesmo eixo normal contém a origem da bola  $B^3$ ; assim, todos os pontos de um dado círculo distam igualmente  $\sin \omega$  da origem de  $B^3$ , onde  $\omega$  se relaciona à temporalidade T do cone segundo  $T = \tan(45^\circ - \omega)$ . Veja a Figura 6 c.

Em particular, a imagem do cone de luz de um triespaço  $\tau$  jaz na esfera 2–dimensional com centro na origem de  $B^3$ , e com raio  $\sqrt{2}/2$ . A Figura 6 **a** deixa claro que somente 1 triespaço pode acomodar um dado cone com temporalidade constante.

## 8 Subespaços de um subespaço

A Tabela 1 indica quantos subespaços, e de que tipo, estão contidos em um dado subespaço do  $R^4$ . Por exemplo, a quadrícula A indica que um plano  $\tau^2$  contém duas direções  $\lambda$  (indicadas  $\bullet \bullet$ ). E a quadrícula B indica que um triespaço  $\lambda^3$  contém  $\infty^2$  planos  $\sigma^2$ . Relembre-se, a notação  $\infty^n$ , usada para as quantidades infinitas, foi definida na Seção 4.

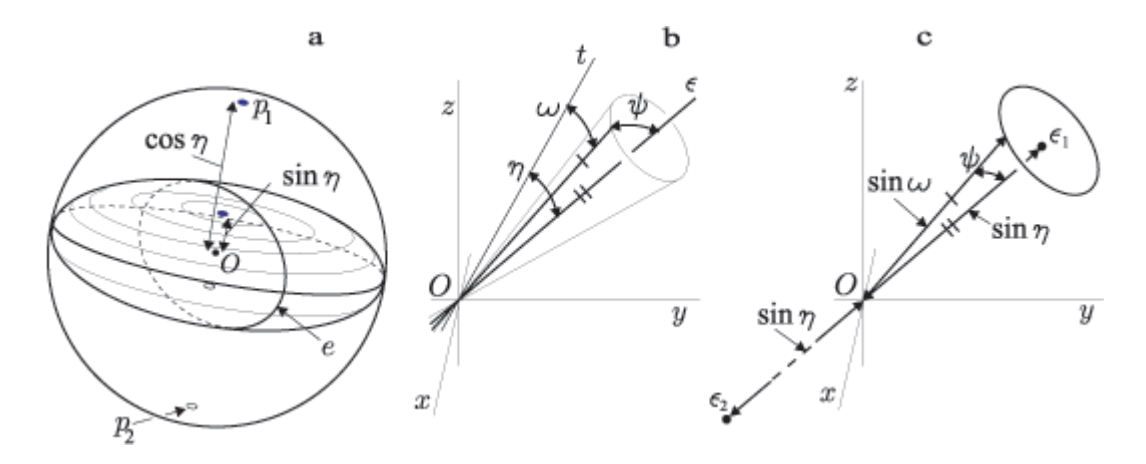


Figura 6: **a:** Na bola  $B^3$ , a imagem de um triespaço com temporalidade  $T = \tan(45^{\circ} - \eta)$  é um esferoide com semieixos  $\{1, 1, \sin \eta\}$ ; o equador do esferoide percorre a borda da bola; a imagem de um cone com temporalidade constante, contido no triespaço, é um par de círculos diametralmente opostos no esferoide; a elipse e é imagem de um plano do triespaço, e o par de pontos  $\{p_1, p_2\}$  é a imagem da direção normal ao triespaço.

b: No  $R^4$  com eixos  $\{t,x,y,z\}$ , a direção  $\epsilon$  é eixo de um triespaço, e de um cone circular com semiabertura  $\psi$ , contido no triespaço; todas as geratrizes do cone formam um mesmo ângulo  $\omega$  com a direção t, embora a figura 4-dimensional pareça contradizê-lo; ocorre  $\cos \omega = \cos \eta \cos \psi$ .

**c:** Na bola  $B^3$  com eixos  $\{x, y, z\}$ , o par de pontos  $\{\epsilon_1, \epsilon_2\}$  é a imagem da direção  $\epsilon$  no  $R^4$ , e dista  $\sin \eta$  da origem O; o círculo é metade da imagem do cone desenhado em **b**; todo ponto do círculo dista  $\sin \omega$  da origem, sendo  $\omega \geq \eta$ .

## 9 Subespaços normais

No espaço  $R^4$  nossa intuição às vezes tem dificuldade em descobrir quantos subespaços são normais a um dado subespaço. Mas há um fato que muito facilita essa descoberta: todos os subespaços normais a um dado subespaço estão contidos no subespaço complementar ao subespaço dado. No  $R^4$  os pares de subespaços complementares sabidamente são  $\{R_T^1,\,R_{-T}^3\}$  e  $\{R_T^2,\,R_{-T}^2\}$ , onde T é temporalidade.

Então, por exemplo, os possíveis subespaços normais a uma direção  $\tau_1$  são aqueles contidos no correspondente triespaço normal  $\sigma_{-1}^3$ . Estes são encontrados na linha  $\sigma^3$  da Tabela 1, quais sejam: o vetor zero  $\tilde{0}$ , uma quantidade  $\infty^2$  de  $\sigma_{-1}$ , outra quantidade  $\infty^2$  de  $\sigma_{-1}^2$ , e o  $\sigma_{-1}^3$  inteiro.

A Tabela 2 informa quantos subespaços são normais a um dado subespaço; no exemplo dado acima, aquelas quantidades estão na linha  $\tau$ . Sem surpresa, as linhas da Tabela 2 são as mesmas da Tabela 1, na sequência inversa.

Às vezes nos perguntamos em quantos subespaços, e de quais tipos, um dado subespaço do  $R^4$  é encontrado. A Tabela 3 dá as respostas. Note que as linhas da Tabela 3 coincidem com as da Tabela 1, na sequência inversa. Note também que as colunas da Tabela 3 coincidem com as da Tabela 2, na ordem inversa.

A Tabela 4 repete, de modo camuflado, as informações da Tabela 1; ela foi incluída para completar uma formação simétrica iniciada pelas outras Tabelas. Suas linhas são as da Tabela 1 em ordem inversa, e suas colunas são as da Tabela 3, na sequência inversa.

9

